

パークによるアンモニア脱臭特性に関する研究

山口大学 (学)○南充由士、(正)浮田正夫、(正)樋口隆哉
(正)関根雅彦、(正)今井剛

1. 研究背景・目的

近年、我が国では、都市の発展に伴い畜産農業は主に山間部に見られる状況となっている。大規模化が進む畜産農業からの環境負荷は様々な侧面に及ぶ。環境影響としては、悪臭の問題が随分前から指摘されている。そこで本研究では畜産農業から発生する主な悪臭物質の一つであるアンモニアのパークによる効果的な抑制対策を検討する。

2. パークの吸着能力の把握

湿潤状態および乾燥状態のパークによる NH_3 鮎和吸着量を把握することを目的として、次の実験を行った。

2-1 実験方法

本実験では下水汚泥等の堆肥化を行っている山陽三共有機株式会社の建屋内ガス脱臭槽でサンプリングしたパークを用いた。この脱臭槽の概要は幅 7m、長さ 20m、高さ 2m であり、ガスを $150\text{m}^3/\text{min}$ で下から通気している。湿潤状態パークの吸着能力を把握するため、脱臭槽中層(表面から 70cm)の含水率 54.6% のパーク 10g と乾燥状態パークの吸着能力を把握するため、上層(同 10cm)のパークを 105°C で 24 時間乾燥させたものを 10g それぞれ別々の容積 1L のポリエチレンバグに入れ、清浄空気 800mL と NH_3 ガスをそれぞれ 100mL、10mL 注入し密閉した。その後、攪拌して 20 分間放置しバグ内の NH_3 濃度を検知管で測定した。測定後、新たに NH_3 ガスをそれぞれ 50mL、10mL 注入し、同様の作業を行った。この作業は湿潤状態パークを用いた方は全注入 NH_3 量 350mL、乾燥状態パークを用いた方は全注入 NH_3 量 90mL になるまで繰り返し行った。

2-2 結果及び考察

湿潤・乾燥状態パークにおける吸着等温線を図 1, 2 に示す。ここで、Langmuir 吸着等温式に図 1, 2 のデータを当てはめてみると、以下の式が得られた。

$$\text{Langmuir 吸着等温式 : } V = (a \times b \times C) / (1 + a \times C)$$

ここで、V は NH_3 吸着量 (mL)、a は吸着定数、b は飽和吸着量 (mL)、C はバグ内 NH_3 濃度 (ppm) である。

図 1 に適用した場合 : $V = (7.9 \times 10^{-4} \times 190 \times C) / (1 + 7.9 \times 10^{-4} \times C)$

図 2 に適用した場合 : $V = (1.5 \times 10^{-3} \times 60 \times C) / (1 + 1.5 \times 10^{-3} \times C)$

したがって、今回使用したパークの吸着による NH_3 鮎和吸着量は湿潤状態で 19mL/g-wet (15mg/g-wet)、乾燥状態で 6.0mL/g-dry (4.5mg/g-dry) という値が導きだされた。

3. パークに付着した $\text{NH}_4\text{-N}, \text{NO}_{2,3}\text{-N}$ の抽出方法の検討

アンモニアの硝化・脱窒速度を把握するにあたって、パークに付着した $\text{NH}_4\text{-N}, \text{NO}_{2,3}\text{-N}$ の抽出方法について検討した。

3-1 実験方法

まず、初期状態のパークの $\text{NH}_4\text{-N}, \text{NO}_{2,3}\text{-N}$ を 5% 及び 10% 塩化カリウム溶液 100mL で抽出した。ここで同じ条件で 4 度繰り返し溶出させた。また、パーク 10g を入れた容積 1L のポリエチレンバグの中に、清浄空気 800mL と NH_3 ガス 100mL を注入して 20 分静置し、バグ内のパークについて同様の方法で抽出を行った。

3-2 結果及び考察

5% 及び 10% 塩化カリウム溶液で抽出した場合の N 分の收支結果を図 3, 4 に示す。ここでの N 分は NH_3 ガス中の N 分とサンプル液中の $\text{NH}_4\text{-N}, \text{NO}_{2,3}\text{-N}$ の合計を mg で表したものである。5% 塩化カリウム溶液で抽出した場合、初期状態の約 70% 分の N 分が回収できているのに対し、10% 塩化カリウム溶液で抽出した場合、初期状態 N 分の約 90% の

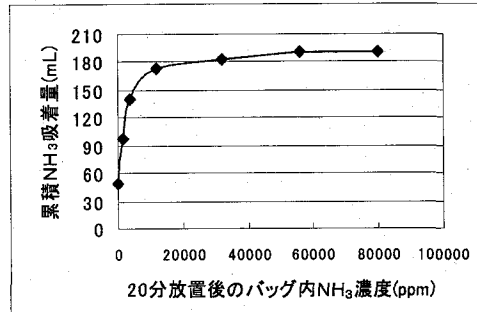


図 1 室温 21°C における吸着等温線(湿潤状態パーク)

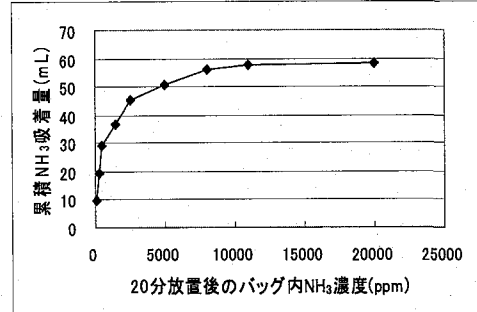


図 2 室温 22°C における吸着等温線(乾燥状態パーク)

N分が回収できている。

4. 硝化・脱窒速度の把握

パークによる硝化速度・脱窒速度を把握するため、次のような実験を行った。ここで、硝化速度・脱窒速度は、それぞれ時間経過ごとの $\text{NH}_4^-\text{-N}$ 減少速度、 $\text{NH}_4^-\text{-N}$, $\text{NO}_{2,3}^-\text{-N}$ の総量の減少速度で表すことにした。

4-1 実験方法

持ち帰った上・中層それぞれのパークを 1L ピーカーに 250g 詰めてよく攪拌した後、パーク 10g を容量 500mL のピーカーに取り出し、10% 塩化カリウム溶液 100mL 加え、パーク中の $\text{NH}_4^-\text{-N}$, $\text{NO}_{2,3}^-\text{-N}$ を溶出させた。同じ条件で 4 度繰り返し溶出させた。その抽出液を 10 分間遠心分離(3500rpm)にかけ、吸引濾過したものをサンプルとして用いた。その後、一部嫌気状態をつくり、脱窒菌の活性を高めるため、6 時間静置し、再度攪拌し同様の作業を行った。この実験は 12 時間後、24 時間後、36 時間後、48 時間後にも同様の作業を行った。作成したサンプルを用いて、インドフェノール法・ヒトラジン法により $\text{NH}_4^-\text{-N}$, $\text{NO}_{2,3}^-\text{-N}$ を測定した。

4-2 結果及び考察

上層・中層の $\text{NH}_4^-\text{-N}$ (mg) の経時変化を図 5, 6 に、 $\text{NH}_4^-\text{-N}$ と $\text{NO}_{2,3}^-\text{-N}$ の総量(mg)の経時変化を図 7, 8 に示す。図 5, 6 より上層パークにおいては、時間経過ごとに $\text{NH}_4^-\text{-N}$ が減少している傾向が見られる。中層パークについては、はつきりとした硝化傾向が見られなかつた。上・中層パーク共に、実験開始から 6 時間後の間で硝化速度が大きく、上層パークで $0.095\text{mg}/\text{h} \cdot \text{g-wet}$ 、中層パークで $0.15\text{mg}/\text{h} \cdot \text{g-wet}$ である。この原因として、サンプリングの際、温度が低い状態のパークをポリ容器にいれ、密閉して持ち帰ったので、パーク中に存在する微生物の活性が低かったが、実験を開始する際、暖かい外気に触れて、微生物の活性が急に高まったためと考えられる。図 7, 8 より、上層パークは時間経過と共に、脱窒していることが分かる。中層パークも、ばらつきがあるものの初期状態と比べると、各時間経過で脱窒が進んでいることがわかる。上・中層共に実験開始から 6 時間後の間と、12 時間後から 24 時間後の間で脱窒速度が大きく、上層パークで $0.12\text{mg}/\text{h} \cdot \text{g-wet}$ 、中層パークで $0.24\text{mg}/\text{h} \cdot \text{g-wet}$ である。

5. まとめ

静的吸着実験より、今回用いたパークの NH_3 飽和吸着量は湿潤状態で $15\text{mg}/\text{g-wet}$ 、乾燥状態で $4.5\text{mg}/\text{g-dry}$ であることが分かった。抽出方法の検討実験より、パーク中に存在する $\text{NH}_4^-\text{-N}$, $\text{NO}_{2,3}^-\text{-N}$ を抽出するには、10% 塩化カリウム溶液で 4 回繰り返し溶出させるのが妥当であると考えられた。硝化・脱窒速度の把握実験では、上・中層パーク共に、実験開始から 6 時間の間が硝化・脱窒速度が大きいということが分かった。しかし、その 6 時間までの間での硝化・脱窒速度はまだ把握できていないので、もっと短いスパンでの硝化・脱窒速度を把握する必要がある。また、硝化・脱窒が継続して行われなかつた。今後は、効率よく反応を継続するための影響因子を把握することが必要である。

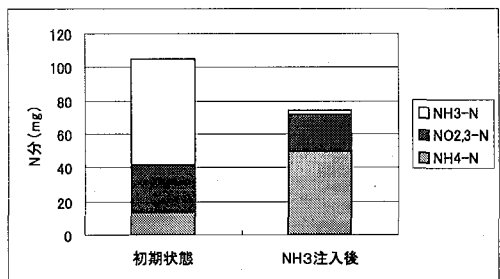


図 3 N 分収支(5%KC 1 溶液で抽出した場合)

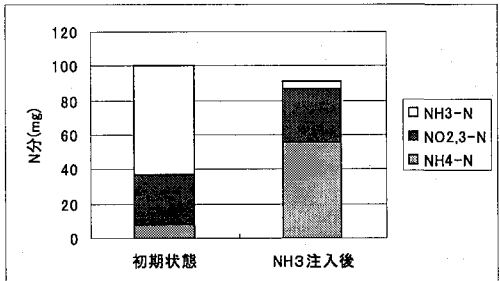


図 4 N 分収支(10%KC 1 溶液で抽出した場合)

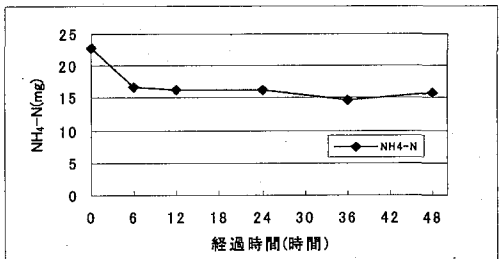


図 5 $\text{NH}_4^-\text{-N}$ の経時変化(上層パーク)

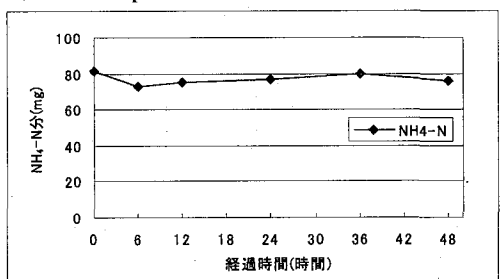


図 6 $\text{NH}_4^-\text{-N}$ の経時変化(中層パーク)

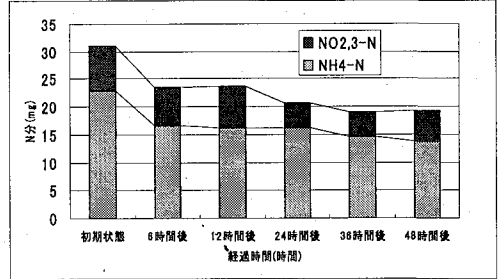


図 7 $\text{NH}_4^-\text{-N}$ と $\text{NO}_{2,3}^-\text{-N}$ の総量の経時変化(上層パーク)

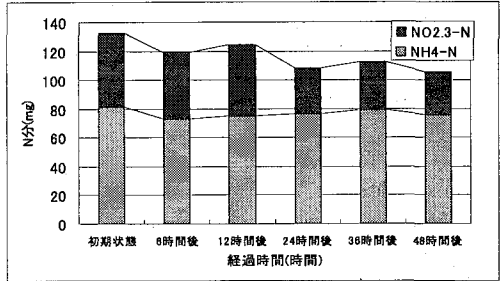


図 8 $\text{NH}_4^-\text{-N}$ と $\text{NO}_{2,3}^-\text{-N}$ の総量の経時変化(中層パーク)